

1-формы, входящие в эти уравнения, удовлетворяют уравнениям структуры евклидова пространства:

$$D\omega^A = \omega^B \wedge \omega^A_B, D\omega^A_B = \omega^C_B \wedge \omega^A_C, \quad (1.2)$$

где $A, B, C = 1, \dots, n$ (везде, в дальнейшем, большие латинские буквы будут принимать эти значения). При этом дифференциальные формы ω^A являются базисными, т.е. выступают в качестве основных параметров при моделировании, которые входят в уравнения для характеристики структурных свойств системы кровообращения.

Основная система уравнений, определяющая гиперраспределение Δ^{n-1} , запишется в виде:

$$\omega^n_i = \Lambda_{ij} \omega^j + \Lambda_i \omega^n \quad (1.3)$$

Дифференцируя уравнения (1.3) внешним образом и используя уравнения структуры евклидова пространства, получим:

$$(\nabla \Lambda_{ij} - \Lambda_i \omega^n_j) \wedge \omega^j + (\nabla \Lambda_i - \Lambda_{ij} \omega^n_j) \wedge \omega^n = 0, \quad (1.4)$$

где

$$\nabla \Lambda_{ij} = d\Lambda_{ij} - \Lambda_{ik} \omega^k_j - \Lambda_{kj} \omega^k_i, \quad \nabla \Lambda_i = d\Lambda_i - \Lambda_j \omega^j_i.$$

Применяя к уравнениям (1.4) лемму Картана, запишем:

$$\begin{aligned} \nabla \Lambda_{ij} - \Lambda_i \omega^n_j &= \mu_{ijk} \omega^k + \mu_{ij} \omega^n, \\ \nabla \Lambda_i - \Lambda_{ij} \omega^n_j &= \mu_{ij} \omega^j + \mu_i \omega^n \end{aligned} \quad (1.5)$$

Закрепляя в уравнениях (1.5) основные параметры, найдем:

$$\begin{aligned} \nabla_\delta \Lambda_{ij} &= 0 \\ \nabla_\delta \Lambda_i - \Lambda_{ij} \pi_n^j &= 0, \end{aligned} \quad (1.6)$$

где через δ обозначено дифференцирование по вторичным параметрам и $\pi_n^A = \omega^A_B(\delta)$.

Дифференцируя тождества $\vec{e}_i \vec{e}_n = 0$, получим:

$$\omega^n_i + \omega^n_j g_{ij} = 0 \quad (1.7)$$

С учетом равенств (1.3), получим:

$$\omega^n_i = -\Lambda^i_j \omega^j - \Lambda^i \omega^n, \quad (1.8)$$

где $\Lambda^i_j = g^{ik} \Lambda_{kj}$ и $\Lambda^I = g^{ij} \Lambda_j$.

Согласно формулам (1.8) – равенства (1.6) примут вид:

$$\begin{aligned} \nabla_\delta \Lambda_{ij} &= 0, \\ \nabla_\delta \Lambda^I &= 0 \end{aligned} \quad (1.9)$$

Равенства (1.9) показывают, что величины Λ_{ij} образуют геометрический объект типа тензора – основной тензор гиперраспределения Δ^{n-1} , а величины Λ_i образуют геометрический объект типа ковектора.

Любой тензор валентности два можно представить следующим образом:

$$\Lambda_{ij} = \Lambda_{(ij)} + \Lambda_{[ij]}, \quad (1.10)$$

где $\Lambda_{(ij)} = \frac{1}{2}(\Lambda_{ij} + \Lambda_{ji})$, $\Lambda_{[ij]} = \frac{1}{2}(\Lambda_{ij} - \Lambda_{ji})$.

На основании равенств (1.10) можно рассмотреть классификацию распределений в евклидовом пространстве.

Величины $\theta_{ij} = \Lambda_{[ij]}$ образуют тензор, называемый тензором неголономности гиперраспределения Δ^{n-1} . Гиперраспределение, тензор неголономности которого тождественно равен нулю, называется голономным или вполне интегрируемым, то есть для каждой точки $x \in \Omega$ существует $(n-1)$ -мерное интегральное многообразие, проходящее через данную точку. Поверхность V_{n-1} называется интегральным многообразием гиперраспределения Δ^{n-1} , если для любой точки $x \in V_{n-1}$ имеем $\xi(x) = T_x(V_{n-1})$.

Для голономного распределения основной тензор симметричен по нижним индексам:

$$\Lambda_{ij} = \Lambda_{ji} \quad (1.11)$$

Если же в равенствах (1.10) $\Lambda_{(ij)} = 0$, то есть основной тензор кососимметричен по нижним индексам:

$$\Lambda_{ij} = -\Lambda_{ji} \quad (1.12)$$

то имеем следующий случай распределения - плоское.

Асимптотические направления на плоском гиперраспределении определяются системой уравнений:

$$\omega^n = 0, \Lambda_{ij} \omega^i \omega^j = 0 \quad (1.13)$$

В работах Аквивиса М.А. доказано, что гиперраспределение является плоским тогда и только тогда, когда оно определяется нуль-системой.

По другой терминологии плоское распределение называют вполне геодезическим, так как для любой геодезической линии из области Ω , касающейся в некоторой своей точке x плоскости $\xi(x)$, она будет интегральной кривой данного распределения.

Для голономного распределения можно выделить случай, когда основной тензор его пропорционален метрическому тензору:

$$\Lambda_{ij} = \mu g_{ij} \quad (1.14)$$

Такое распределение называют сферическим или омбилическим, а по другой терминологии называют неголономной сферой.

2.2. Дифференцируемые отображения

Дифференцируемые отображения позволяют не только математически моделировать перемещение крови, но и проанализировать состояние движущейся крови в участке сосуда на основании того, как частица крови перемещается вдоль сосуда. Пусть E^n и \bar{E}^n - евклидовы n -мерные пространства и $f: \Omega \rightarrow \bar{\Omega}$ - точечное невырожденное дифференцируемое отображение области Ω пространства E^n в область $\bar{\Omega}$ пространства \bar{E}^n так, что для точки $x \in \Omega$ имеем $y = f(x) \in \bar{\Omega}$. Присоединим к точке x множество всех реперов $\{x, \vec{e}_A\}$ с началом в этой точке. Положим $\vec{a}_A = f_x^*(\vec{e}_A)$, где f_x^* - касательное линейное отображение к отображению f в точке x . Так как f_x^* - невырожденное отображение, то вектора \vec{a}_A независимы и образуют репер в пространстве \bar{E}^n с началом в точке y .

Уравнения перемещения реперов $\{x, \vec{e}_A\}$ и $\{y, \vec{a}_A\}$ запишем в виде:

$$\begin{aligned} d\vec{x} &= \omega^A \vec{e}_A, & d\vec{e}_A &= \omega_A^B \vec{e}_B \\ d\vec{y} &= \varpi^A \vec{a}_A, & d\vec{a}_A &= \varpi_A^B \vec{a}_B \end{aligned} \quad (2.1)$$

1-формы, входящие в эти уравнения, удовлетворяют уравнениям структуры евклидова пространства:

$$D\omega^A = \omega^B \wedge \omega^A_B, \quad D\omega^A_B = \omega^K_B \wedge \omega^A_K, \quad D\varpi^A = \varpi^B \wedge \varpi^A_B, \quad D\varpi^A_B = \varpi^K_B \wedge \varpi^A_K \quad (2.2)$$

Ввиду того, что реперы $\{x, \vec{e}_A\}$ и $\{y, \vec{a}_A\}$ связаны соответствиями f и f^* , то из этих форм линейно независимыми будут только формы ω^A и ω^A_B .

Обозначим через $g_{AB} = (\vec{e}_A, \vec{e}_B)$ и $\bar{g}_{AB} = (\vec{a}_A, \vec{a}_B)$ метрические тензоры пространств E^n и \bar{E}^n в точках x и y соответственно. Тензоры g_{AB} и \bar{g}_{AB} в силу (2.1) удовлетворяют уравнениям:

$$dg_{AB} = g_{AK}\omega^K_B + g_{KB}\omega^K_A, \quad d\bar{g}_{AB} = \bar{g}_{AK}\varpi^K_B + \bar{g}_{KB}\varpi^K_A \quad (2.3)$$

В силу согласованного выбора реперов в пространствах E^n и \bar{E}^n 1-формы ω^A и ϖ^A , определяющие перемещение точек x и y , связаны равенствами:

$$\varpi^A = \omega^A \quad (2.4)$$

Равенства (2.4) представляют собой основные дифференциальные уравнения рассматриваемого соответствия f . Дифференцируя их внешним образом и применяя лемму Картана, получим:

$$\varpi^A_B - \omega^A_B = h^A_{BK}\omega^K, \quad (2.5)$$

где $h^A_{BK} = h^A_{KB}$ – симметричный тензор деформации евклидовой связности при точечном соответствии f .

Пространства E^n и \bar{E}^n поместим в пространство E^{2n} так, чтобы они были вполне ортогональны и обозначим через O их общую точку. Точка z графика отображения $f: \Omega \rightarrow \bar{\Omega}$ будет определяться радиусом-вектором $\vec{oz} = \vec{ox} + \vec{oy}$. Для простоты изложения будем отождествлять точки с их радиусами-векторами

и писать $\vec{z} = \vec{x} + \vec{y}$. График отображения f представляет собой гладкое n -мерное подмногообразие M^n пространства E^{2n} .

Так как пространства E^n и \bar{E}^n вполне ортогональны, то ортогональны будут и вектора \vec{e}_A и \vec{a}_A реперов, присоединенных к точкам x и y в пространствах E^n и \bar{E}^n , то есть $(\vec{e}_A, \vec{a}_B) = 0$. Эти вектора образуют репер в пространстве E^{2n} , присоединенный к точке z . Используя формулы (2.1) и (2.4), найдем, что

$$d\vec{z} = \omega^A (\vec{e}_A + \vec{a}_A).$$

Следовательно, вектора $\vec{b}_A = \vec{e}_A + \vec{a}_A$ будут касательными к графику отображения f в пространстве E^{2n} . Найдем асимптотический тензор и асимптотические инвариантные формы многообразия M^n . Дифференцируя векторы \vec{b}_A , получим:

$$d\vec{b}_A = \omega_A^B \vec{b}_B + (\varpi_A^B - \omega_A^B) \vec{a}_B.$$

Формы $\varpi^A_B - \omega^A_B$ определяют перемещение касательного подпространства $T_z(M^n)$ к многообразию M^n . Поэтому в силу соотношений (2.5) тензор h^A_{BK} является асимптотическим тензором этого многообразия, а квадратичные формы

$$\varphi^A = \omega^B (\varpi^A_B - \omega^A_B) = h^A_{BK} \omega^B \omega^K \quad (2.6)$$

его асимптотическими квадратичными формами.

В общем случае вычисление компонент тензора h^A_{BK} довольно-таки сложная задача. Порой она требует больших вычислений. Но в некоторых частных случаях дифференцируемых отображений, компоненты этого тензора можно вычислить. В качестве демонстрации идеи вычисления компонент тензора h^A_{BK} при дифференцируемом отображении между двумя n -мерными евклидовыми пространствами, рассматривается способ вычисления компонент этого тензора при дифференцируемом соответствии между областями n -мерного евклидова пространства.

2.3. Тензор деформации

Рассмотрим точечное невырожденное дифференцируемое отображение области Ω в область $\bar{\Omega}$ пространства E^n так, что для точки $x \in \Omega$ имеем $y = f(x) \in \bar{\Omega}$. Такое отображение моделирует движение крови как перемещение из одной точки частицы крови в другую. Данное отображение в евклидовом пространстве задает прямую (xy) . В каждой точке $x \in \Omega$ зададим гиперплоскость $\xi(x)$, перпендикулярную прямой (xy) . Тем самым, в области Ω будет задано гиперраспределение Δ^{n-1} , а $(x, \xi(x))$ – элемент этого распределения, состоящий из точки $x \in \Omega$ и проходящей через нее гиперплоскости $\xi(x)$, ортогонально прямой (xy) .

Присоединим к точке x множество всех реперов $R_x = \{x, \vec{e}_i, \vec{e}_n\}$, $i, j, k = 1, \dots, n-1$, с началом в этой точке и такими, что $\vec{e}_i \in \Delta^{n-1}$, а вектор \vec{e}_n направлен вдоль прямой (xy) перпендикулярно данному гиперраспределению и его модуль равен 1.

Положим $\vec{a}_A = f_x^*(\vec{e}_A)$, где $A, B = 1, \dots, n$ и f_x^* , как и в параграфе 2.2, – касательное линейное отображение к отображению f в точке x . Так как f_x^* – невырожденное отображение, то вектора \vec{a}_A – независимы и образуют репер в области $\bar{\Omega}$ с началом в точке y .

Уравнения перемещения реперов $\{x, \vec{e}_A\}$ и $\{y, \vec{a}_A\}$ запишем в виде:

$$\begin{aligned} d\vec{x} &= \omega^A \vec{e}_A, & d\vec{e}_A &= \omega_A^B \vec{e}_B \\ d\vec{y} &= \varpi^A \vec{a}_A, & d\vec{a}_A &= \varpi_A^B \vec{a}_B \end{aligned} \quad (3.1)$$

1-формы, входящие в эти уравнения, удовлетворяют уравнениям структуры евклидова пространства и будут аналогичны формулам (2.2).

В силу согласованного выбора реперов в областях Ω и $\bar{\Omega}$ 1-формы ω^A и ϖ^A , определяющие перемещение точек x и y , связаны также равенствами вида (2.4),

которые являются основными дифференциальными уравнениями рассматриваемого соответствия $f: \Omega \rightarrow \bar{\Omega}$. Дифференцируя эти равенства внешним образом, получим равенства, аналогичные равенствам (2.5).

Связь между точками x и y выразим в виде:

$$\vec{y} = \vec{x} + \rho \vec{e}_n \quad (3.2)$$

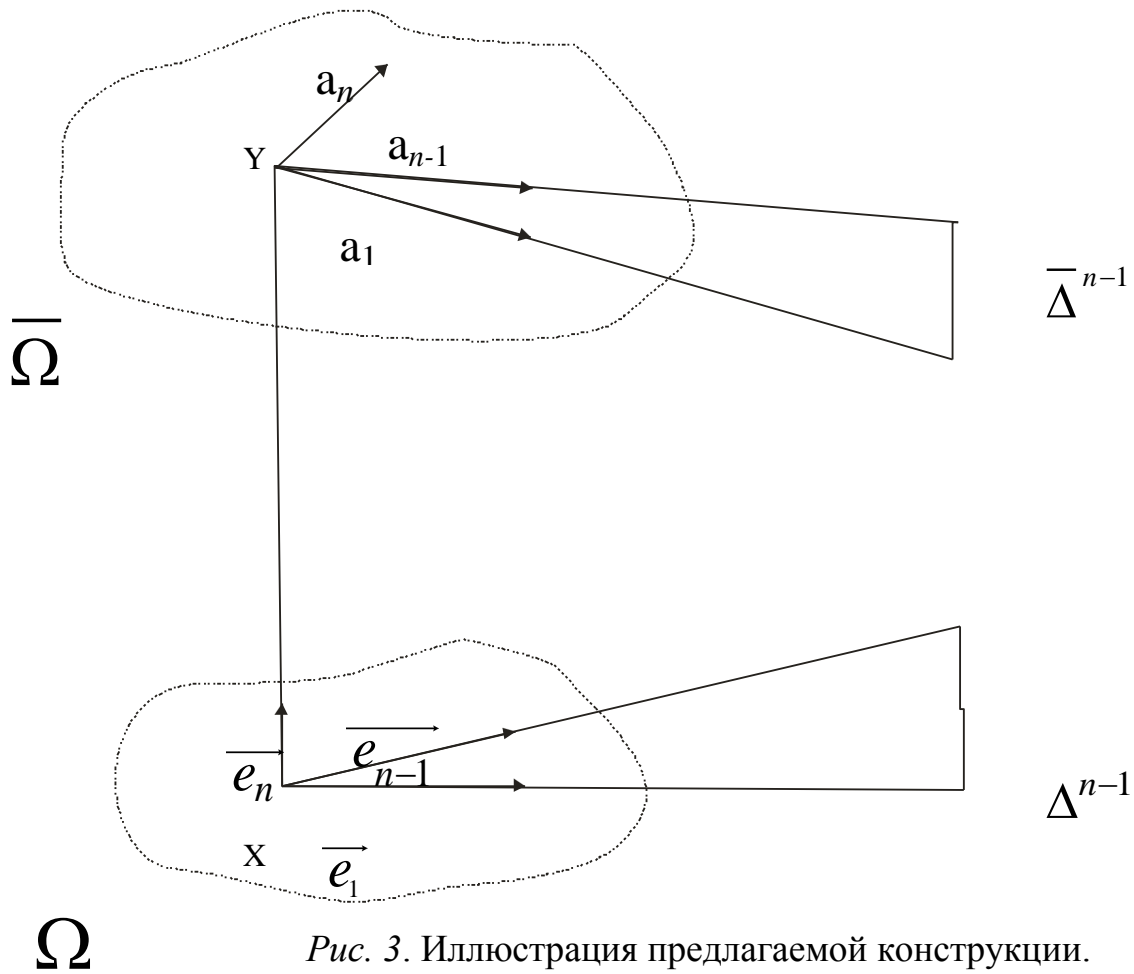


Рис. 3. Иллюстрация предлагаемой конструкции.

Основная система уравнений, определяющая гиперраспределение Δ^{n-1} , запишется в виде:

$$\omega^n_i = \Lambda^j_{ij} \omega^j + \Lambda_i \omega^n \quad (3.3)$$

Дифференцируя тождества $(\vec{e}_i \vec{e}_n) = 0$, получим $\omega^n_i + \omega^j_n g_{ij} = 0$ или

$$\omega^i_n = -\Lambda^i_j \omega^j - \Lambda^i \omega^n, \quad (3.4)$$

где $\Lambda^i_j = g^{ik} \Lambda_{kj}$ и $\Lambda^i = g^{ij} \Lambda_j$.

Далее, найдем представление векторов \vec{a}_A через векторы \vec{e}_A . Для этого продифференцируем равенства (3.2) и после несложных вычислений, как и в работе [103], получим:

$$\begin{aligned}\vec{a}_i &= (\delta_i^j - \rho \Lambda_i^j) \vec{e}_j + \rho_i \vec{e}_n \\ \vec{a}_n &= -\rho \Lambda^i \vec{e}_i + (1 + \rho_n) \vec{e}_n\end{aligned}\quad (3.5)$$

Ввиду того, что

$$dg^{AB} = -g^{AK} \omega_K^B - g^{KB} \omega_K^A, \quad (3.6)$$

то будем иметь

$$\begin{aligned}d\Lambda^j_i &= \Lambda^j_k \omega^k_i - \Lambda^k_i \omega^j_k + \Lambda^j \omega^n_i + g^{jk} \Lambda_{kiA} \omega^A, \\ d\Lambda^i &= -\Lambda^j \omega^i_j + \Lambda^i_j \omega^j_n + g^{ij} \Lambda_{jnA} \omega^A.\end{aligned}\quad (3.7)$$

Дифференцируя внешним образом равенство $d\rho = \rho_i \omega^i + \rho_n \omega^n$, получим:

$$\begin{aligned}d\rho_i + \rho_j \omega^j_i - \rho_n \omega^n_i &= \rho_{ij} \omega^j + \rho_{in} \omega^n, \\ d\rho_n - \rho_i \omega^i_n &= \rho_{in} \omega^i + \rho_{nn} \omega^n,\end{aligned}\quad (3.8)$$

где ρ_{ij}, ρ_{in} в силу леммы Картана симметричны по нижним индексам.

Дифференцируя равенства (3.5), запишем:

$$\begin{aligned}\varpi_i^j \vec{a}_j + \varpi_i^n \vec{a}_n &= -d\rho \Lambda_i^j \vec{e}_j - \rho d\Lambda_i^j \vec{e}_j + (\delta_i^j - \rho \Lambda_i^j) \omega_j^k \vec{e}_k + (\delta_i^j - \\ &- \rho \Lambda_i^j) \omega_j^n \vec{e}_n + d\rho_i \vec{e}_n + \rho_i \omega_n^j \vec{e}_j, \\ \varpi_n^i \vec{a}_i + \varpi_n^n \vec{a}_n &= -d\rho \Lambda^i \vec{e}_i - \rho d\Lambda^i \vec{e}_i - \rho \Lambda^i \omega_i^j \vec{e}_j - \rho \Lambda^i \omega_i^n \vec{e}_n + d\rho_n \vec{e}_n + \\ &+ (1 + \rho_n) \omega_n^i \vec{e}_i\end{aligned}\quad (3.9)$$

Подставляя равенства (3.5) в (3.9), в силу линейной независимости векторов \vec{e}_A , получим:

$$\begin{aligned}\varpi_i^j (\delta_j^k - \rho \Lambda_j^k) - \omega_n^i \rho \Lambda^k &= -d\rho \Lambda^k_i - \rho d\Lambda^k_i + (\delta_i^j - \rho \Lambda_i^j) \omega_j^k + \rho_i \omega_n^k \\ \varpi_i^j \rho_j + \varpi_i^n (1 + \rho_n) &= (\delta_i^j - \rho \Lambda_i^j) \omega_n^j + d\rho_i,\end{aligned}\quad (3.10)$$

$$\begin{aligned} \varpi_n^i (\delta_j^i - \rho \Lambda_j^i) - \varpi_n^n \rho \Lambda^j &= -d\rho \Lambda^j - \rho d\Lambda^j - \rho \Lambda^i \omega_i^j + (1 + \rho_n) \omega_n^j \\ \varpi_n^i \rho_i + \varpi_n^n (1 + \rho_n) &= -\rho \Lambda^i \omega_n^i + d\rho_n. \end{aligned}$$

Подставим первое уравнение из (3.7) в первое уравнение (3.10), а также учитывая (2.5), запишем:

$$(\delta_j^k - \rho \Lambda_j^k) h_{iA}^j - \rho \Lambda^k h_{iA}^n = -\Lambda_i^k \rho_A - \rho g^{kl} \Lambda_{liA} - \rho_i \Lambda_A^k. \quad (3.11)$$

Воспользовавшись первым уравнением из (3.8), а также равенствами (2.5), подставив все это во второе равенство из (3.10), получим:

$$\rho_j h_{iA}^j + (1 + \rho_n) h_{iA}^n = -\rho \Lambda_i^j \Lambda_{jA} + \rho_{iA} \quad (3.12)$$

Запишем третье уравнение из (3.10), учитывая второе равенство из (3.7) и уравнение (2.5), в виде:

$$(\delta_i^j - \rho \Lambda_i^j) h_{nA}^i - \rho \Lambda^j h_{nA}^n = -\Lambda^j \rho_A - \rho g^{jk} \Lambda_{knA} - \rho_n \Lambda_A^j \quad (3.13)$$

И, наконец, подставляя второе уравнение из (3.8) в последнее уравнение (3.10), получим:

$$\rho_i h_{nA}^i + (1 + \rho_n) h_{nA}^n = -\rho \Lambda^i \Lambda_{iA} + \rho_{nA} \quad (3.14)$$

Учитывая (3.11), (3.12), (3.13), (3.14), запишем:

$$\begin{aligned} (\delta_j^k - \rho \Lambda_j^k) h_{iA}^j - \rho \Lambda^k h_{iA}^n &= -\Lambda_i^k \rho_A - \rho g^{kl} \Lambda_{liA} - \rho_i \Lambda_A^k \\ \rho_j h_{iA}^j + (1 + \rho_n) h_{iA}^n &= -\rho \Lambda_i^j \Lambda_{jA} + \rho_{iA} \\ (\delta_i^j - \rho \Lambda_i^j) h_{nA}^i - \rho \Lambda^j h_{nA}^n &= -\Lambda^j \rho_A - \rho g^{jk} \Lambda_{knA} - \rho_n \Lambda_A^j \\ \rho_i h_{nA}^i + (1 + \rho_n) h_{nA}^n &= -\rho \Lambda^i \Lambda_{iA} + \rho_{nA}. \end{aligned} \quad (3.15)$$

Сделаем следующий вывод.

Теорема 2.1. При дифференцируемом отображении области Ω в область $\bar{\Omega}$ n -мерного евклидова пространства, компоненты тензора деформации евклидовой связности находятся из системы (3.15).

Рассмотрим частные случаи, касающиеся гиперраспределения Δ^{n-1} и его образа в соответствии f . В соответствии f гиперраспределению Δ^{n-1} будет соответствовать гиперраспределение $\bar{\Delta}^{n-1}$, $(y, \bar{\xi})$ - элемент этого распределения, состоящий из точки $y \in \bar{\Omega}$ и проходящей через нее гиперплоскости $\bar{\xi} = \bar{\xi}(y)$.

Пусть гиперплоскости $\bar{\xi}(x)$ и $\bar{\xi}(y)$ не пересекаются. Тогда гиперраспределения Δ^{n-1} и $\bar{\Delta}^{n-1}$ параллельны. Векторное поле \vec{e}_n будет ортогонально гиперраспределению $\bar{\Delta}^{n-1}$. В этом случае имеем $\vec{e}_n \vec{a}_i = 0$. Используя равенства (3.5), получим:

$$\rho_i = 0 \quad (3.16)$$

После подстановки (3.16) в первое уравнение (3.8), получим:

$$-\rho_n \Lambda_{ij} \omega^j - \rho_n \Lambda_i \omega^n = \rho_{ij} \omega^j + \rho_{in} \omega^n.$$

С учетом линейной независимости форм, запишем:

$$\rho_{ij} = -\rho_n \Lambda_{ij}, \quad \rho_{in} = -\rho_n \Lambda_i \quad (3.17)$$

Из первого уравнения (3.17), в силу симметрии ρ_{ij} по нижним индексам, заключаем, что Λ_{ij} также симметричен по нижним индексам. Отсюда следует, что гиперраспределение Δ^{n-1} вполне интегрируемо.

Дифференциальные уравнения гиперраспределения $\bar{\Delta}^{n-1}$ запишем в виде:

$$\varpi_i^n = \bar{\Lambda}_{ij} \omega^j + \bar{\Lambda}_i \omega^n \quad (3.18)$$

Из формул (2.5) при $B = i, A = n$, получим:

$$\varpi_i^n - \omega_i^n = h_{iA}^n \omega^A.$$

С учетом (3.18) и (3.3), запишем:

$$\bar{\Lambda}_{ij} = \Lambda_{ij} + h_{ij}^n, \quad \bar{\Lambda}_i = \Lambda_i + h_{in}^n \quad (3.19)$$

Величины $\{\bar{\Lambda}_{ij}, \bar{\Lambda}_i\}$ образуют геометрический объект – фундаментальный объект первого порядка гиперраспределения $\bar{\Delta}^{n-1}$. При этом, величины $\{\bar{\Lambda}_{ij}\}$ образуют тензор – основной тензор гиперраспределения $\bar{\Delta}^{n-1}$. Аналогично,

$\bar{\theta}_{ij} = \bar{\Lambda}_{[ij]}$ - тензор неголономности гиперраспределения $\bar{\Lambda}^{\bar{n}-1}$. С учетом (3.19), запишем:

$$\bar{\theta}_{ij} = \frac{1}{2}(\bar{\Lambda}_{ij} - \bar{\Lambda}_{ji}) = \frac{1}{2}(\Lambda_{ij} + h_{ij}^n - \Lambda_{ji} - h_{ji}^n) = \frac{1}{2}(\Lambda_{ij} - \Lambda_{ji}) = \theta_{ij}.$$

На основании полученных формул получаем.

Теорема 2.2. Интегральные линии векторного поля \bar{e}_n являются прямыми тогда и только тогда, когда $\Lambda_i = 0$.

2.4. Конформное отображение при исследовании геометрии движущейся крови

Конформные соответствия между евклидовыми пространствами – это не только хорошо изученный, но и важный для различных приложений раздел дифференциальной геометрии. Так как при движении крови в норме в большей части сосудов кровь движется ламинарно, то сохраняются углы между скоростями частиц и их образов, поэтому конформное соответствие находит свое приложение при моделировании движения крови.

Пусть E^n и \bar{E}^n - евклидовы n -мерные пространства и $f : \Omega \rightarrow \bar{\Omega}$ конформное отображение области Ω пространства E^n в область $\bar{\Omega}$ пространства \bar{E}^n так, что для точки $x \in \Omega$ имеем $y = f(x) \in \bar{\Omega}$. Обозначим через $g_{AB} = (\vec{e}_A, \vec{e}_B)$ и $\bar{g}_{AB} = (\vec{a}_A, \vec{a}_B)$ метрические тензоры пространств E^n и \bar{E}^n в точках x и y соответственно. Элементы длины в этих пространствах записываются в виде:

$$ds^2 = g_{AB} \omega^A \omega^B, d\bar{s}^2 = \bar{g}_{AB} \bar{\omega}^A \bar{\omega}^B \quad (4.1)$$

Тензоры g_{AB} и \bar{g}_{AB} в силу (3.1) удовлетворяют уравнениям (2.3). 1-формы ω^A и $\bar{\omega}^A$, определяющие перемещение точек x и y , связаны, как и ранее, равенствами:

$$\bar{\omega}^A = \omega^A \quad (4.2)$$

Дифференцируя (4.2) внешним образом и применяя лемму Картана, получим: